

การวิเคราะห์ปัจจัยที่ส่งผลต่อความเป็นพิษของเซลล์ผิวหนังของแผ่นมาส์กหน้าจากไฟเบอร์อิน ไคโตซาน และในอะซิน

Analysis of Factors Influencing the Cytotoxicity of Fibroin-Chitosan-Niacin Facial Mask

ณัฐรุ่งปภาณ ยาสุต¹, อnierut Chaijaruwanich^{2*} และ สุรุกษ์ อุดมสม³

Natpaphan Yawut¹, Anirut Chaijaruwanich^{2*} and Suruk Udomsom³

^{1,2*}ศูนย์ความเป็นเติศด้านเทคโนโลยีการผลิตขั้นสูง ภาควิชาวิศวกรรมอุตสาหกรรม คณะวิศวกรรมศาสตร์ มหาวิทยาลัยเชียงใหม่

³ศูนย์วิศวกรรมชีวการแพทย์ สาขาวิชาวิศวกรรมชีวการแพทย์ คณะวิศวกรรมศาสตร์ มหาวิทยาลัยเชียงใหม่

*Corresponding author: anirut@eng.cmu.ac.th

E-mail: natpaphan_yawut@cmu.ac.th¹, suruk_u@cmu.ac.th³

บทคัดย่อ

งานวิจัยนี้มีวัตถุประสงค์เพื่อวิเคราะห์ปัจจัยที่มีผลต่อความเป็นพิษต่อเซลล์ผิวหนังของแผ่นมาส์กหน้าที่ขึ้นรูปจากไฟเบอร์อินไคโตซาน และในอะซินด้วยวิธีการขึ้นรูปด้วยการทำให้แห้งแบบเยือกแข็งโดยประยุกต์ใช้การออกแบบการทดลองแฟคทอเรียลแบบเพิ่มจุดกึ่งกลางโดยปัจจัยที่ศึกษาคือระดับขององค์ประกอบที่ใช้ในการขึ้นรูป ในงานวิจัยนี้ได้ทำการสังเคราะห์ไฟเบอร์อินจากรังไหมไทย ในอะซินจากข้าวหอนนิล และเตรียมไคโตซานจากกระดองหมึก ผลจากการวิเคราะห์ค่าความเป็นพิษต่อเซลล์ พบว่าในช่วงปริมาณขององค์ประกอบที่ศึกษาระดับของในอะซินและอันตรกิริยา.r ร่วมระหว่างไคโตซานและในอะซินมีผลต่อความเป็นพิษ ของเซลล์ระดับขององค์ประกอบที่เหมาะสมคือ ไคโตซาน 2 wt% และในอะซิน 5 wt% ซึ่งให้ผลอัตราการรอดชีวิตของเซลล์ผิวหนัง ที่ดี เนื่องจากค่าอัตราการอยู่รอดชีวิตของเซลล์มากกว่า 100 % ใน 24 ชั่วโมง

คำสำคัญ: ไฟเบอร์อิน ไคโตซาน ในอะซิน แผ่นมาส์กหน้า การทดสอบความเป็นพิษต่อเซลล์ การออกแบบการทดลองแฟคทอเรียล

Abstract

This research aims to analyze factors affecting cytotoxicity of facial masks fabricated from fibroin, chitosan and niacin by a lyophilized or freeze dry method applying a factorial experiment with center point. The factors include levels of components used in the fabrication. In this study, fibroin was synthesized from Thai silkworm cocoons whereas niacin was synthesized from Hom-nin rice and chitosan from cuttlefish bone. From the results of the cytotoxicity tests, it was found that within the range studied the levels of niacin and interaction between chitosan and niacin significantly affected the cytotoxicity. The suitable levels of the components were 2 wt% chitosan and 5wt% niacin, resulting in good cell viability with the cell viability more than 100% within 24 hours.

Keywords: Fibroin, Chitosan, Niacin, Facial Mask, Cytotoxicity test, Factorial Design

1. บทนำ

ปัจจุบันผลิตภัณฑ์มาส์กหน้าเป็นอีกหนึ่งทางเลือกที่ได้รับความนิยมสำหรับผู้บริโภคที่ต้องการดูแลผิวหน้าและเป็นผลิตภัณฑ์ที่ช่วยเพิ่มสารอาหารให้แก่ผิวหน้าโดยตรง เนื่องจาก การพอกพาที่สะดวกและง่ายต่อการใช้งานและยังหาซื้อด้วยง่าย

การมาส์กเป็นการนำสารบำรุงผิวที่มีความเข้มข้นมาทำการเคลือบผิว เพื่อดูดซับทำความสะอาด และยังมีส่วนช่วยในการกระตุ้นการไหลเวียนของโลหิต เพิ่มการบำรุงผิวอย่างล้ำลึก ผิวพรรณดูเปล่งปลั่ง ซึ่งการมาส์กมีหลายรูปแบบทั้งการมาส์กด้วยครีม มาส์กแบบพอกหน้าแล้วล้างออก มาส์กแบบพอกบนหน้าแล้วลอกออก และมาส์กแบบแผ่น

ทั้งนี้แผ่นมาส์กหน้าที่วางจำหน่ายในปัจจุบันก็ยังมีหลากหลายรูปแบบ ขึ้นอยู่กับวัตถุประสงค์ของแผ่นมาส์กหน้า นั้น โดยสามารถแบ่งออกเป็น 2 ประเภทใหญ่ๆ แบบแรกนิดกระดาษ และแบบที่สองชนิดใบโอลิสตอลคลั่ยแผ่นเจล ซึ่งทั้งสองแบบต่างมีข้อเสีย [1] ทั้งที่เป็นกระดาษไม่แนบสนิทกับผิวหน้าทำให้สารบำรุงระเหยออก แบบเจลมีอายุการใช้งานระยะสั้นเป็นต้น ดังนั้นเพื่อเป็นการพัฒนาแผ่นมาส์กจากข้อเสีย ต่างๆนั้น งานวิจัยนี้จึงใช้เทคนิคการขึ้นรูปด้วยการทำให้แห้งแบบเยือกแข็ง เพื่อให้วัสดุแผ่นมาส์กหน้ายังมีลักษณะคล้ายฟองน้ำ เมื่อสัมผัสถูกของเหลวจะคล้ายเจลซึ่งกักเก็บสารบำรุงไว้ ซึ่งวัสดุที่ใช้ในงานวิจัยนี้ล้วนมีคุณสมบัติทางเวชสำอางที่โดดเด่น จึงนำสารสังเคราะห์แต่ละอย่างมาร่วมกันเพื่อผลิตและพัฒนา แผ่นมาส์กหน้าด้วย 3 ส่วนผสม โดยไฟไบรอินเป็นเลิศแห่งมอยเจอร์เรเชอร์ เป็นโปรตีนสกัดจากการงาไหมด้วยกระบวนการทางชีวเคมี เป็นสารพกุณของไฟไบรอินที่เหมาะสมแก่การผลิต เพื่อเพิ่มความชุ่มชื้นให้ผิวจากโปรตีนไฟไบรอิน นอกจากนี้ไฟไบรอินยังเป็นวัสดุโปรตีนที่มีความใกล้เคียงกับโปรตีนที่พบในร่างกายมนุษย์ [2] ส่วนไคโตชานก็มีคุณสมบัติที่ดีทางเวชสำอาง มีความโดดเด่นในการดูดซับสารพิษที่เป็นอันตรายต่อผิวให้หลุดออกได้ เมื่อจากไคโตชานมีประจุบวกอย่างลั่นเหลือจึงทำให้มันสามารถเกาะกับประจุลบของผิวหน้าได้เป็นอย่างดี จึงมักถูกนำมาใช้ในเครื่องสำอาง [3] ทั้งนี้ไฟไบรอินและไคโตชานยังมีคุณสมบัติเป็นสารก่อฟิล์ม ซึ่งมีส่วนช่วย ในด้านโครงสร้าง และสารสระคัญในการผลิตแผ่นมาส์กหน้าที่ช่วยด้านผิวพรรณมีผลต่อความสวยงามของผิวหน้าในงานวิจัยนี้คือ ในอะซินจากข้าวห้อมนิล ซึ่งผลการวิจัย ส่วนใหญ่มักชี้ว่าในอะซินมีประโยชน์ต่อผิวพรรณมากมายไม่ว่าจะเป็นการช่วยทำให้ผิวนุ่มชุ่มชื้น สามารถช่วยเพิ่มปริมาณเซราไมด์ (Ceramide) และกรดไขมัน (Fatty Acid) ได้ดี และยังช่วยลดการสูญเสียน้ำ ทำให้ผิวมีความยืดหยุ่นดี พร้อมช่วยลดการติดเชื้อได้ดี ช่วยให้ผิวขาวกระจงใส ลดรอยด่างดำที่เกิดจากแสงแดด และแพลเป็นจากสิวได้ [4]

ซึ่งงานวิจัยนี้ได้ทำการศึกษาและพัฒนามาส์กหน้าแบบแผ่น ซึ่งเป็นการใช้สารสกัดวิตามินจากธรรมชาติและมีส่วนผสมของสารสกัดจากพืชมาบำรุงผิวพรรณ โดยคุณสมบัติที่โดดเด่นของวัสดุทั้ง 3 นี้ ซึ่งเป็นวัสดุท้องถิ่นและมีอยู่แล้วในห้องปฏิบัติการ มาทำการผลิตแผ่นมาส์กหน้า โดยใช้หลักการอุ่นแบบการทดลองแบบแพกทอยเรียลร่วมกับจุดกึ่งกลางมาเป็นเครื่องมือในการวิเคราะห์ปัจจัยที่มีผลต่อความเป็นพิษของเซลล์ของแผ่น

มาส์กหน้าที่ขึ้นรูปจากไฟไบรอิน ไคโตชาน และในอะซิน ด้วยเทคนิคการขึ้นรูปด้วยวิธีการทำให้แห้งแบบเยือกแข็ง (Lyophilized method)

2. วิธีดำเนินการทำวิจัย

2.1 การสังเคราะห์สาร

2.1.1 การสังเคราะห์ไฟไบรอินจากงาไหม

เริ่มจากการทำความสะอาดและตัดรังไข่ให้เป็นชิ้นขนาดเล็กปริมาณ 10 กรัมและทำการกำจัดโปรตีนเซริชินหรือการที่เคลือบอยู่ขั้นตอนสุดของรังไข่หมอก (Degum) โดยการต้มในสารละลายโซเดียมคาร์บอเนต (Na_2CO_3) ที่ความเข้มข้น 0.02 มอล เป็นเวลา 30 นาที ตามด้วยการต้มในน้ำกลันที่อุณหภูมิ 98-100 องศาเซลเซียล เป็นเวลา 10 นาที เพื่อล้างเส้นไหมแล้วนำไปอบแห้งในตู้อบลมร้อนที่อุณหภูมิ 37 องศาเซลเซียล เป็นเวลา 12 ชั่วโมง จากนั้นนำไปสกัดເเอกสารละลายไฟไบรอินด้วยตัวทำละลาย (Ternary Solvent) 3 ตัว คือ แคลเซียมคลอไรด์ต่อเอทานอลต่อน้ำ ($CaCl_2 : CH_3CH_2OH : DI\ water$) ในอัตราส่วน 1:2:8 มอล ที่อุณหภูมิ 40-50 องศาเซลเซียล เพื่อให้ได้ไฟไบรอินในสารละลายเกลือ และจะถูกแยกโปรตีนกับเกลือออกจากกันโดยการไดอะไลซิส (Dialysis) ด้วยน้ำกลันเป็นเวลา 3 วัน สารละลายไฟไบรอินสุดท้ายจะถูกนำมาปั่นให้วิ่งเพื่อกำจัดตะกอนออกแล้วจึงนำไปทำให้แห้งแบบเยือกแข็ง (Freeze dry) เป็นเวลา 48 ชั่วโมง ใน จานหลุม 24 หลุม (24 well plate) จะได้ไฟไบรอินที่มีลักษณะเป็นก้อน ดังรูปที่ 1 จากนั้นจัดเก็บในภาชนะที่ปิดสนิท อ้างอิงจาก [5] ไฟไบรอินที่สังเคราะห์ได้ถูกตรวจสอบด้วยเทคนิค Fourier Transform Infrared Spectroscopy :FT-IR)



รูปที่ 1 ก้อนไฟไบรอินที่สังเคราะห์ได้

2.1.2 การเตรียมไคโตชานที่ได้จากการดองหมึก

ในการศึกษานี้ใช้ไคโตชานสำเร็จรูปที่สกัดจากกระดองหมึกปริมาณ 0.5, 1.25 และ 2 กรัม โดยจะทำการละลายไคโตชานในสารละลายกรดอะซิติก 1% ปริมาณ 100 มิลลิลิตร ซึ่งไคโต

ชานจะถูกทำให้ละลายอย่างสมบูรณ์จะใช้เวลาประมาณ 3 วัน จากนั้นจะทำการกรองไคโตซานที่ได้ให้เนื้อละเอียด ดังรูปที่ 2



รูปที่ 2 ลักษณะไคโตซานในสารละลาย

2.1.3 การสังเคราะห์ในอะซินจากข้าวหอม

โดยเริ่มจากการบดข้าวให้ละเอียดปริมาณ 20 กรัม เติมกรดชัลฟิวเริก (H_2SO_4) ที่ความเข้มข้น 0.25 มล ลงไป 80 มลลิลิตร แล้วนำไปต้มด้วยเครื่องหม้อนึ่งฟรีเซ็ค (Autoclave) ที่อุณหภูมิ 121 องศาเซลเซียส และความดัน 15 ปอนด์ต่อตารางนิวต์ เป็นเวลา 30 นาที และทำการปรับพีเอช (pH) ด้วยสารละลายโซเดียมไฮดรอกไซด์ ($NaOH$) ให้ได้ pH ที่ 5.5 จากนั้นนำตัวอย่างไปบ่มด้วยเครื่องบ่มแบบเบี้ยง เป็นเวลา 30 นาที ก่อนทำการเพิ่มปานเปน (papain) ปริมาณ 0.1 กรัม ลงไปแล้วทำการบ่มต่อที่อุณหภูมิ 45 องศาเซลเซียส เป็นเวลา 2 ชั่วโมง หลังจากนั้นทำการเติมกรดไทรคลอโรอะซีติก (Trichloroacetic acid) 45% ปริมาณ 10 มลลิลิตร ลงไปเพื่อกำจัดโปรตีนออก ทำให้เย็นที่อุณหภูมิห้อง จากนั้นทำการกรองทรายด้วยผ้าขาวบาง และนำส่วนที่เหลือไปปั่นเหวี่ยงที่ 2,500 rpm เป็นเวลา 15 นาที กรองด้วยกระดาษกรอง No.42 จากนั้นทำการกรองด้วยเยื่อเซลลูโลส (Cellulose filter) ขนาด 0.45 μm ดัดแปลงจาก [6] หลังจากสังเคราะห์ในอะซินจากข้าวหอมนิลแล้วจะทำการตรวจสอบด้วยเครื่องโคมาราต์กราฟีเหลวสมรรถนะสูง (High Performance Liquid Chromatography) เพื่อวิเคราะห์และยืนยันสารในอะซินที่สังเคราะห์ได้ และจึงนำไปทำให้แห้งแบบเยือกแข็งเป็นเวลา 3 วัน จะได้ในอะซินในลักษณะเป็นผง ดังรูปที่ 3



รูปที่ 3 ผงในอะซินที่ได้จากการสกัด

2.2 การออกแบบการทดลอง

ในการศึกษานี้ ได้ประยุกต์ใช้เทคนิคการออกแบบการทดลองแบบแฟคทอรีเรียลเต็มรูป แบบ 2^3 โดยได้ทำการทดลองชั้น อย่างละ 2 ครั้ง ร่วมกับการทดลองจุดกึ่งกลาง 4 จุด เป็น 4 การทดลอง รวมเป็นจำนวนการทดลองทั้งสิ้น 20 การทดลองดังแสดงในตารางที่ 1 โดยกำหนดให้ A คือ ไฟเบอร์อิน B คือ ไคโตซาน และ C คือ ไนอะซิน เพื่อหาระดับของค่าประกอบที่ใช้ขั้นรูปแผ่นมาส์กหน้าที่มีผลต่อความเป็นพิษต่อเซลล์ (Cytotoxicity) ช่วงของปริมาณของไฟเบอร์อินที่ใช้ในการศึกษานี้อ้างอิงจาก [7] และปริมาณสูงสุดของไคโตซาน (2 %) อ้างอิงจาก [8] ส่วนค่าต่ำสุดเป็นปริมาณไคโตซานที่ได้จากการทดลองเบื้องต้นที่สามารถทำการขันรูปได้ และปริมาณของไนอะซินอ้างอิงจาก [4] ซึ่งเป็นช่วงที่เหมาะสมและมีประสิทธิภาพต่อการใช้บนใบหน้า

ตารางที่ 1 อัตราส่วนขององค์ประกอบที่ใช้ในแต่ละระดับปัจจัย

ปัจจัย	หน่วย	สูง (+1)	กลาง (0)	ต่ำ (-1)
Fibroin (A)	wt %	1.4	0.75	0.1
Chitosan (B)	wt %	2	1.25	0.5
Niacin (C)	wt %	5	3.5	2

ตารางที่ 2 อัตราส่วนที่ใช้ในการทดลอง 10 อัตราส่วน

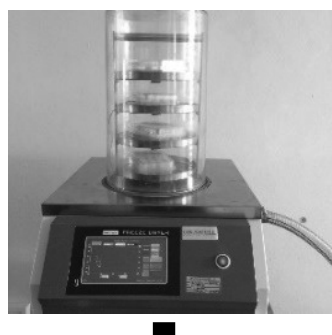
ลำดับการทดลอง	ปัจจัย		
	ไฟเบอร์อิน	ไคโตซาน	ไนอะซิน
1	0.1	0.5	2.0
2	1.4	0.5	2.0
3	0.1	2.0	2.0
4	1.4	2.0	2.0
5	0.1	0.5	5.0
6	1.4	0.5	5.0
7	0.1	2.0	5.0
8	1.4	2.0	5.0
9.1	0.75	1.25	3.5
9.2	0.75	1.25	3.5

จากตารางที่ 2 แสดงอัตราส่วนที่ใช้ในการทดลองเป็นเปอร์เซ็นต์โดยน้ำหนัก

2.3 การเตรียมและขันรูปแผ่นมาส์กหน้า

ก่อนการขันรูปต้องเตรียมไฟเบอร์อิน ไคโตซาน และไนอะซิน ในรูปของสารละลาย หลังจากนั้นผสมเข้าด้วยกันเป็นเวลา 15

นาที การที่อุณหภูมิห้องตามอัตราส่วนที่ได้จากการออกแบบ การทดลองดังตารางที่ 1 และเพิ่มกลูตารอลดีไฮด์ 2.5 % ปริมาณ 0.3 มิลลิลิตร ลงไปซึ่งเป็นตัวช่วยยึดจับสารละลายทั้ง 3 จากนั้นนำสารละลายเทลงบน 24 well plate และนำไปทำให้แห้งแบบเยือกแข็ง จะได้ ขั้นงานทดสอบ ดังรูปที่ 4 เพื่อใช้สำหรับการวิเคราะห์ความเป็นพิษต่อเซลล์



รูปที่ 4 ขั้นงานทดสอบ

2.4 การวิเคราะห์คุณสมบัติของแผ่นมาส์กหน้า

หลังจากทำการขึ้นรูปแผ่นมาส์กหน้าในแต่ละอัตราส่วนแล้ว ทำการวิเคราะห์คุณสมบัติที่เป็นผลตอบสนองของงานวิจัย คือ ความเป็นพิษต่อเซลล์ จากนั้นนำข้อมูลมาวิเคราะห์ทางสถิติ โดยใช้โปรแกรม Minitab เพื่อวิเคราะห์องค์ประกอบของแผ่นมาส์กหน้าที่มีผลต่อความเป็นพิษของเซลล์

2.4.1 การวิเคราะห์คุณสมบัติทางชีววิทยา

การทดสอบความเป็นพิษต่อเซลล์ (Cytotoxicity Test) ใช้เพื่อศึกษาการตอบสนองของเซลล์ของแผ่นมาส์กหน้า โดยการทดสอบนี้ใช้เซลล์ผิวหนัง ทดสอบความเป็นพิษต่อเซลล์ วิเคราะห์ได้จากจำนวนเซลล์ที่มีชีวิตรอด (Cell viability)

จากนั้นทำการนับเซลล์แล้วนำไปเลี้ยงใน 24 well plate ซึ่งปริมาณเซลล์ของแต่ละหลุม คือ 50,000 เซลล์ต่อหลุม ดังรูปที่ 5 บ่มที่อุณหภูมิ 37 องศาเซลเซียล เป็นเวลา 24 ชั่วโมง จากนั้นนำขั้นงานใส่ลงไปแล้วบ่มต่อเป็นเวลา 24 ชั่วโมง เมื่อ

ครบเวลา นำขั้นงานออก แล้วเติมสาร 3-(4,5-Dimethylthiazolyl-2, 5-diphenyl tetrazolium bromide (MTT) ปริมาณ 1 มิลลิลิตร ลงไป ปั่นต่อ 4 ชั่วโมง แล้วดูดสารละลายทั้งหมดออก จากนั้นเติมสารละลาย Dimethyl sulphoxide (DMSO) ปริมาณ 1 มิลลิลิตร ลงไปแล้วนำไปบ่มแบบเบี่ยงที่อุณหภูมิ 45 องศาเซลเซียล เป็นเวลา 20 นาที จะเห็นการเปลี่ยนแปลงของสารละลายที่เป็นสีม่วง และนำไปวัดค่าการดูดกลืนแสง (Absorbance) ด้วยเครื่องวัดการดูดกลืนแสง (Microplate reader) ที่ความยาวคลื่น 540 นาโนเมตร และ 630 นาโนเมตร จากนั้นนำผลที่ได้มาทำการคำนวณเพื่อหาปริมาณเซลล์ที่มีชีวิตจากสมการที่ 1

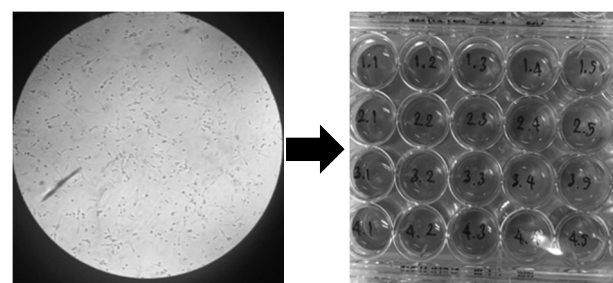
$$\text{Cell viability (\%)} = \frac{(\text{OD of treated cell}) \times 100}{(\text{OD of control cell})} \quad (1)$$

จากสมการที่ 1 กำหนดให้

$$\text{Cell viability (\%)} = \% \text{ การรอดชีวิตของเซลล์}$$

$\text{OD of treated cell}$ = ค่าการดูดกลืนแสงของเซลล์ทดลอง

$\text{OD of control cell}$ = ค่าการดูดกลืนแสงของเซลล์ควบคุม



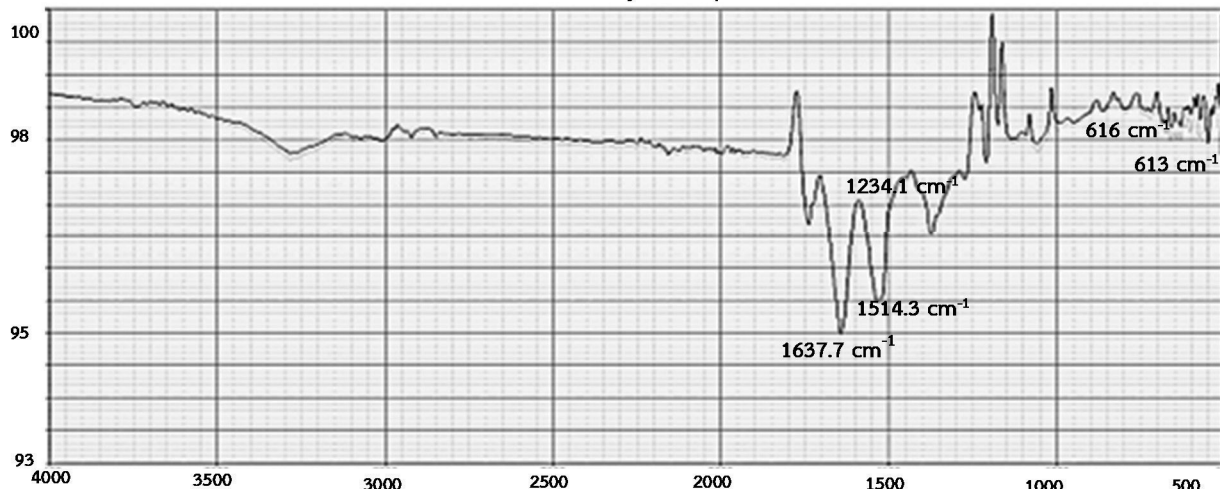
รูปที่ 5 เซลล์ผิวหนัง

3. ผลการวิจัยและการอภิปรายผล

3.1 ผลการตรวจสอบไฟโบรอิน ในอักษิน และการเตรียมไคโตซาน

3.1.1 ผลการสังเคราะห์ไฟโบรอิน

จากการทดลองในการสังเคราะห์ไฟโบรอินจากรังไหเมโดยทำการตรวจสอบองค์ประกอบทางเคมีของวัสดุไฟโบรอิน ด้วยการดูดกลืนคลื่นความร้อนแบบการแปลงฟูริเยร์ (FT-IR)



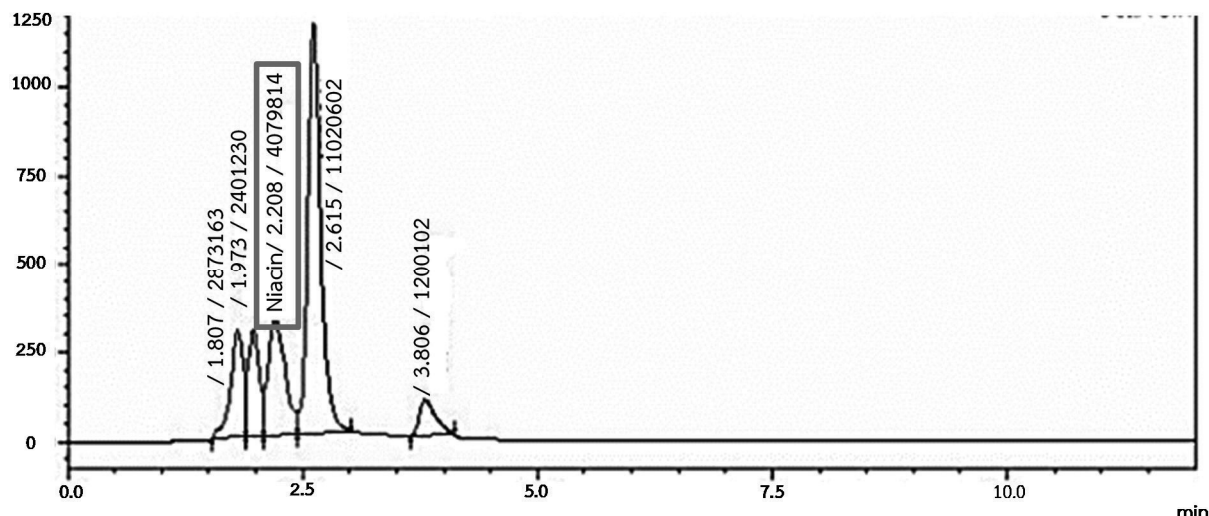
รูปที่ 6 กราฟ FT-IR ของไฟโบรอิน

จากการวิเคราะห์ไฟสเปกตรัมรังส์และองค์ประกอบของไฟโบรอินด้วยการคุณลักษณะความร้อนแบบการแปลงฟูริเยร์ (Fourier Transform Infrared Spectroscopy : FT-IR) อ้างอิงจาก[5] ดังรูปที่ 6 แสดงตำแหน่งของหมู่หรือโครงสร้างโมเลกุลที่สำคัญของไฟโบรอินพบว่าไฟส่องค์ประกอบของไฟโบรอินที่ได้ทำการสังเคราะห์จากรังไหมีค่าการคุณลักษณะแสดงอยู่ในช่วงเดียวกันกับค่าการคุณลักษณะของกรดอะมิโน ในไฟโบรอิน แสดงผลค่าไฟโบรอินมาตรฐาน กับไฟโบรอินที่สังเคราะห์ได้ คือ 616 cm^{-1} , 613 cm^{-1} , 1637.7 cm^{-1} ,

1514.3 cm^{-1} และ 1234.1 cm^{-1} จึงสามารถยืนยันได้ว่าไฟโบรอินที่สังเคราะห์ขึ้นจากรังไหมนั้นเป็นไฟโบรอินจริง

3.1.2 ผลการสังเคราะห์ในอะซิน

จากการทดลองในการสังเคราะห์ในอะซินจากข้าวหอมนิลโดยทำการตรวจสอบเพื่อยืนยันการสังเคราะห์ว่าสอดคล้องกับการกราฟไฟล์ความดันสูง (HPLC)

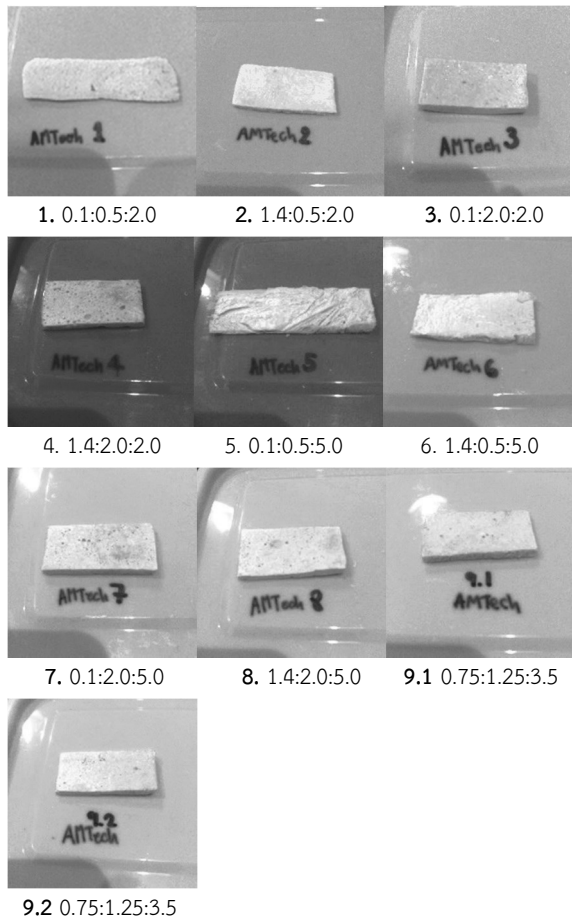


รูปที่ 7 HPLC ของในอะซิน

จากการวิเคราะห์เพื่อยืนยันการสังเคราะห์ในอะซินจากข้าว
ห้อมนิดด้วยเครื่องໂຄຣາໂທກຣີເຫວຄວາມດັນສູງດັງຮູປ໌ທີ 7
ພບວ່າປຣິມານໃນอะซິນທີ່ໄດ້ຈາກການສັງເຄຣະທີ່ກີ່ອ 18.751
ມີລິກັນຕ່ອມລິກິຕິຣີເປັນສາຣີໃນอะซິນຈິງ

3.2 ผลการขึ้นรูปແຜ່ນມາສັກໜ້າ

การศຶກຂາລັກຂະນະທາງກາຍກາພເບື້ອງຕົ້ນໄດ້ສັງເກດຈາກການ
ນໍວັສດຸອກຈາກແມ່ພິມີ່



ຮູບທີ່ 8 ລັກຂະນະທາງກາຍກາພຈາກການຂັ້ນຮູປ໌
(ອັຕຣາສ່ວນແສດງເປັນ ໄຟໂບຣອິນ : ໄກໂຕຈານ : ໄນອະຈິນ)

จากการทดลองขึ้นรูปແຜ່ນມາສັກໜ້າຕາມອັຕຣາສ່ວນດັງຕາຮາງທີ່ 2 ພບວ່າແຜ່ນມາສັກໜ້າທີ່ມີໄກໂຕຈານປຣິມານສູງມີລັກຂະນະທາງ
ກາຍກາພທີ່ດີ ໄນຂັດຈ່າຍ ພົວໜ້າມີຄວາມເຮັບເນີກາ
ເປີ່ຍືນແປລັງທັວເລັກນ້ອຍທໍາໄຫ້ຄຸມຄວາມໜານຂອງແຜ່ນ
ມາສັກໜ້າໄດ້ຈ່າຍ ໂດຍອັຕຣາສ່ວນທີ່ 3, 4, 7, 8, 9.1 ແລະ 9.2
ເປັນອັຕຣາສ່ວນຜສນທີ່ມີໄກໂຕຈານຮະດັບກລາງ ຄື່ງ ຮະດັບສູງ ຈຶ່ງ
ເມື່ອນໍາອອກຈາກແມ່ພິມີ່ແລ້ວຈະມີລັກຂະນະທາງກາຍກາພທີ່ດີ ໄນ
ຂັດຈ່າຍ ພົວໜ້າມີຄວາມເຮັບ ຄວາມໜານຂອງແຜ່ນມາສັກໜ້າ
ເປັນໄປຕາມທີ່ຕ້ອງການ ສ່ວນອັຕຣາສ່ວນທີ່ 1, 2, 5 ແລະ 6 ເປັນ
ອັຕຣາສ່ວນຜສນທີ່ມີໄກໂຕຈານຮະດັບຕໍ່ ເມື່ອນໍາອອກຈາກແມ່ພິມີ່
ລັກຂະນະທາງກາຍກາພຈາກການນຳໜຶ່ງຈານອອກມານັ້ນມີຄວາມ

ເປົ້າຮັບກາງ ຂາດຈ່າຍ ພົວໜ້າໄໝເຮັບເນີຍ ຍາກຕ່ອກການນໍາອອກ
ຈາກແມ່ພິມີ່ ຄວາມໜານໄໝເປັນໄປຕາມທີ່ຕ້ອງການ

3.3 ຜລຂອງອົງຄົບປະກອບຕ່ອງຄວາມເປັນພິບຍົດຕ່ອງເຊີລີລີ

ການວິເຄຣະທີ່ຄວາມແປປຣວນດ້ວຍໂປຣແກຣມມິນິເທປ
(Minitab) ເພື່ອສຶກຂາວ່າປັບປຸງສ່ວນຜສນ (ໄຟໂບຣອິນ, ໄກໂຕຈານ,
ໄນອະຈິນ) ໄດ້ສ່າງຜລຕ່ອງຄ່າການທດລອງອ່າງມິນ້ຍສຳຄັນທີ່ຮະດັບ
ຄວາມເຂົ້າມັນ 95 % ດັ່ງຕາຮາງທີ່ 3 ແສດຜລຈາກການທດລອງ

ຕາຮາງທີ່ 3 ຜລອັຕຣາກາຮອດຊື່ວິຫຼຂອງເຊີລີລີ

ລຳດັບການ ທດລອງ	% Cell viability 1	% Cell viability 2
1	104.390%	119.780%
2	104.191%	114.935%
3	79.949%	70.779%
4	56.924%	56.277%
5	272.444%	161.827%
6	277.202%	232.375%
7	297.083%	282.684%
8	261.569%	178.819%
9.1	129.482%	
9.2	156.188%	
9.3	183.828%	
9.4	157.703%	

ໂດຍກຳຫັນດສມມຕີຫຼານ ອີ່ວິກາກຕ່າງໆ ປົກກົດຕ່າງໆ ປົກກົດຕ່າງໆ ປົກກົດຕ່າງໆ
0.05 ແສດວ່າຍ່ອມຮັບສົມມຕີຫຼານຫລັກ (H_0) ກລ່າວ່າອີ່ວິກາກຕ່າງໆ
ສ່ວນຜສນນັ້ນໄໝສ່າງຜລຕ່ອງຄ່າການທດລອງຊື່ວິຫຼຂອງເຊີລີລີ
ອ່າງມິນ້ຍສຳຄັນທີ່ຮະດັບຄວາມເຂົ້າມັນ 95 % ແຕ່ອີ່ກາກຕ່າງໆ
P-Value ມີຄ່ານ້ອຍກວ່າ 0.05 ແສດວ່າປົກກົດຕ່າງໆ ປົກກົດຕ່າງໆ ປົກກົດຕ່າງໆ
ກລ່າວ່າອີ່ວິກາກຕ່າງໆ ສ່ວນຜສນນັ້ນສ່າງຜລຕ່ອງຄ່າການທດລອງຊື່ວິຫຼຂອງ
ເຊີລີລີອ່າງມິນ້ຍສຳຄັນທີ່ຮະດັບຄວາມເຂົ້າມັນ 95 %

ຕາຮາງທີ່ 4 ແສດຜລກາວິເຄຣະທີ່ກົດກອງປັບປຸງ

Factorial Fit: Cytotoxicity versus Fibroin, Chitosan, Niacin

Estimated Effects and Coefficients for Cytotoxicity (coded units)

Term	Effect	Coef	SE Coef	T	P
Constant		170.08	8.614	19.74	0.000
Fibroin	-7.08	-3.54	8.614	-0.41	0.689
Chitosan	-19.13	-9.57	8.614	-2.11	0.290
Niacin	150.85	75.42	8.614	8.76	0.000
Fibroin*Chitosan	-37.15	-18.57	8.614	-2.16	0.054
Fibroin*Niacin	-8.94	-4.47	8.614	-0.52	0.614
Chitosan*Niacin	38.21	19.10	8.614	2.22	0.049
Fibroin*Chitosan*Niacin	-16.53	-8.26	8.614	-0.96	0.358
Ct Pt		-13.27	19.262	-0.69	0.505

S = 34.4561 PRESS = 48953.3

R-Sq = 89.03% R-Sq(pred) = 58.89% R-Sq(adj) = 81.06%

จากผลการวิเคราะห์ ดังตารางที่ 2 ซึ่งประกอบไปด้วยไฟโบรอกิน ไคโตซาน และในอะซิน โดยเมื่อพิจารณาค่า P-Value พบว่า ในอะซินเป็นปัจจัยหลักปัจจัยเดียวที่มีนัยสำคัญและพบปัจจัยร่วมระหว่างไคโตซานกับในอะซินที่มีนัยสำคัญต่อค่าความเป็นพิษต่อเซลล์ ส่วนค่าสัมประสิทธิ์ของการตัดสินใจ (R-square) ของค่าความเป็นพิษต่อเซลล์ ซึ่งจากการทดลองได้ค่าสัมประสิทธิ์การตัดสินใจเท่ากับ 81.06% ถือว่าเป็นค่าสัมประสิทธิ์การตัดสินใจที่ดีและมีความพอดีเพียงในการนำข้อมูลเพื่อไปสร้างแบบจำลองและสมการทำนายผล

ตารางที่ 5 แสดงผลทดสอบทางสถิติของส่วนโค้ง (Curvature)

Analysis of Variance for Cytotoxicity (coded units)						
Source	DF	Seq SS	Adj SS	Adj MS	F	P
Main Effects	2	92484	92483.7	46241.8	34.35	0.000
Chitosan	1	1464	1464.2	1464.2	1.09	0.313
Niacin	1	91019	91019.5	91019.5	67.62	0.000
2-Way Interactions	1	5840	5839.8	5839.8	4.34	0.055
Chitosan*Niacin	1	5840	5839.8	5839.8	4.34	0.055
Curvature	1	563	563.5	563.5	0.42	0.527
Residual Error	15	20191	20191.1	1346.1		
Pure Error	15	20191	20191.1	1346.1		
Total	19	119078				

เมื่อพิจารณค่าทดสอบทางสถิติของส่วนโค้งจากตารางที่ 5 พบว่า มีค่า F (Curvature) เท่ากับ 0.42 และมีค่า P-Value เท่ากับ 0.527 จะเห็นได้ว่า P-Value มีค่ามากกว่า 0.05 ซึ่งแสดงว่ายอมรับสมมติฐานหลัก มีความสัมพันธ์เป็นเส้นตรง (Linear Model) ดังนั้นการออกแบบการทดลองแบบแฟคทอเรียล 2^3 ที่จุดกึ่งกลาง อย่างเดียวที่พอดี ดังนั้น จึงไม่ต้องเพิ่มจุดทดลองนอกเหนือจากแบบทดลองข้างต้น และสามารถสร้างแบบจำลองลดจำนวน (Reduced Model) โดยรวมเฉพาะเทอมที่มีนัยสำคัญเท่านั้น ดังสมการที่ 2 เมื่อแสดงค่าแทนสมการเป็น code (+1, -1)

$$Y = 170.08 - 9.57B + 75.42C + 19.10BC \quad (2)$$

เมื่อ Y: อัตราการรอดชีวิตของเซลล์

B: ไคโตซาน

C: ในอะซิน

จากสมการสามารถอธิบายได้ว่า เมื่อใช้ไคโตซาน (B) ที่ระดับปัจจัยค่าน้อย (-) คือ 0.5 wt% จะทำให้ผลตอบ (Y) เพิ่มขึ้นแต่อันตรกิริยาร่วมระหว่างไคโตซานและในอะซิน (BC) เมื่อสังเกตจากเลขสัมประสิทธิ์ 75.42C และ 19.10BC มีค่ามากกว่า 9.57B จึงส่งผลทำให้ไคโตซาน (B) อยู่ในระดับปัจจัยค่าสูง (+) คือ 2 wt% ไปด้วย กล่าวคือ เมื่อใช้ระดับปัจจัยของไคโตซาน และในอะซินที่ค่าสูง คือ 2 และ 5 wt% ตามลำดับ

จะทำให้ได้ผลตอบ (Y) คือ อัตราการรอดชีวิตของเซลล์เพิ่มขึ้นซึ่งสอดคล้องกับค่าผลตอบที่งานวิจัยต้องการ

ตารางที่ 6 การหาค่าที่เหมาะสมของปัจจัย

Response Optimization						
Parameters						
Cytotoxicity	Goal	Maximum	Lower	Target	Upper	Weight
		100	289	289	289	1
Global Solution						
Chitosan	=	1				
Niacin	=	1				
Predicted Responses						
Cytotoxicity	=	255.039	,	desirability	=	0.820311

ทำการทดลองยืนยันผล เพื่อเป็นการตรวจสอบความถูกต้องว่าผลการทดลองมีค่าใกล้เคียงกับค่าที่ทำนายจากการวิเคราะห์ด้วยการหาปัจจัยที่เหมาะสม (Response Optimization) ดังตารางที่ 4 โดยทำการทดลอง 5 ชั้า แล้ววัดค่าอัตราการรอดชีวิตของเซลล์เพื่อนำค่าที่ได้มาเปรียบเทียบกับค่าที่ได้จากการวิเคราะห์ คือ ความเป็นพิษต่อเซลล์ (Cytotoxicity) เท่ากับ 255.039 % โดยทำการทดลองและแสดงผลการวิเคราะห์ค่าอัตราการรอดชีวิตของเซลล์ ดังตารางที่ 6 ซึ่งจากการทดลองยืนยันผลได้ค่าเฉลี่ยของ%การรอดชีวิตของเซลล์ เท่ากับ 242.629 %

กำหนดให้ สมมติฐานหลัก $H_0 : \mu = 255.039$

สมมติฐานรอง $H_1 : \mu \neq 255.039$

ตารางที่ 7 ผลการวิเคราะห์การยืนยันผล

One-Sample T: Cytotoxicity						
Test of $\mu = 255.039$ vs not = 255.039						
Variable	N	Mean	StDev	SE Mean	95% CI	T
Cytotoxicity	5	242.6	25.1	11.2	(211.5, 273.8)	-1.11

ผลจากการวิเคราะห์การยืนยันผลทดสอบค่าความเป็นพิษต่อเซลล์ พบว่า P-Value มีค่าเท่ากับ 0.331 มีค่ามากกว่า 0.05 ที่ความเชื่อมั่น 95 % ซึ่งแสดงว่ายอมรับสมมติฐานหลักของการทดลองที่ไคโตซานระดับสูง (+) เท่ากับ 2 wt% และในอะซินระดับสูง (+) เท่ากับ 5 wt% ซึ่งค่าจากการทดลองยืนยันผลกับค่าการวิเคราะห์ด้วย Response Optimization ไม่แตกต่างกันอย่างมีนัยสำคัญ

4. สรุปและอภิปรายผล

งานวิจัยนี้ทำการศึกษาการขึ้นรูปและทดสอบความเป็นพิษต่อเซลล์ผู้หนังของสารที่ได้ทำการสังเคราะห์และเตรียมจากวัสดุทางธรรมชาติ โดยใช้เทคนิคการออกแบบการทดลอง

แฟฟกทอเรียลแบบเพิ่มจุดกึ่งกลางเพื่อศึกษาระดับของปัจจัยที่ส่งผลต่อความเป็นพิษต่อเซลล์ผิวหนังจากผลการทดลองในการสังเคราะห์ไฟฟอโรนิจักรังไหเมื่อในอัชชินจากข้าวห้อมนิล และเตรียมไคโตซานกระดองหมึก พบว่าสารที่ได้จากการสังเคราะห์ทั้งหมดเป็นสารสกัดจริง ตามสารมาตรฐานทั้งเฟสโครงสร้างและองค์ประกอบเมื่อนำสารสังเคราะห์ไปทำการศึกษาการขึ้นรูปพบว่าอัตราส่วนผสมที่มีไคโตซานระดับสูงส่งผลให้ลักษณะทางกายภาพของแผ่นมาส์กหน้าแข็งแรง ผิวหน้าเรียบ ความหนาได้ตามที่ต้องการ แสดงถึงปริมาณของไคโตซาน มีผลต่อโครงสร้างของแผ่นมาส์กหน้า และเมื่อทำการศึกษาทดสอบความเป็นพิษต่อเซลล์ผิวหนัง พบว่าปัจจัยที่ส่งผลต่อค่าอัตราการลดชีวิตของเซลล์ผิวหนังอย่างมีนัยสำคัญคือ ในอัชชินและอันตรกิริยาร่วมระหว่าง ไคโตซานและในอัชชิน ซึ่งปริมาณที่เหมาะสมที่สุดจาก การวิเคราะห์ผลทางสถิติคือ ไคโตซาน 2 wt% และในอัชชิน 5 wt% ซึ่งจากการวิเคราะห์สามารถยืนยันได้จากการทดลองของ ขั้นงานทดสอบต่อเซลล์ผิวหนังเป็นเวลา 24 ชั่วโมง ซึ่ง เซลล์ผิวหนังมีอัตราการลดชีวิตมากกว่า 100 % ซึ่งแสดงให้เห็นถึง ความน่าเชื่อถือในการวิเคราะห์และสามารถนำข้อมูลดังกล่าวจาก การทดลองข้างต้นนำข้อมูลไปใช้เป็นพื้นฐานด้านความปลอดภัย ของสารที่สังเคราะห์และเตรียมจากวัสดุธรรมชาติ ซึ่งผลที่ได้ สามารถใช้เป็นข้อมูลสำคัญในการเลือกความเข้มข้นที่เหมาะสม ต่อการพัฒนาเป็นแผ่นมาส์กหน้าที่ใช้สารสังเคราะห์นี้เป็น ส่วนประกอบในอนาคต

5. กิตติกรรมประกาศ

ขอขอบคุณอาจารย์ที่ปรึกษา ผู้ให้ความรู้ในการทำวิจัย ผู้ให้คำแนะนำ คำปรึกษา ผู้เขียนขอรับของรุ่นเป็น อย่างสูงไว้ ณ โอกาสนี้

ขอขอบคุณศูนย์วิศวกรรมชีวการแพทย์คณบดี วิศวกรรมศาสตร์ มหาวิทยาลัยเชียงใหม่ ที่เอื้อเพื่ออุปกรณ์ การทดลองและสถานที่ในการทำการทดลอง ภาควิชา เทคโนโลยีชีวภาพทางอุตสาหกรรมเกษตร คณบดี วิศวกรรมเกษตร มหาวิทยาลัยเชียงใหม่ ที่ให้คำปรึกษาในการวิเคราะห์สารสังเคราะห์และทดสอบขั้นงานทดสอบ

6. เอกสารอ้างอิง

- [1] Murillo- Carretero, M. , Ruano, M. J. , (2 0 0 2) . Antiproliferative effect of nitric oxide on epidermal growth factor- responsive human neuroblastoma cells, Journal of Neurochemistry 83(1): 119-131.
- [2] Kongchang, W., (2010). Haemagglutination Inhibition of Newcastle Disease Virus by Silk Fibroin, King Mongkut's Institute of Technology: pp.15.
- [3] Sang-Urai, S., (2006). Isolation of a Biopolymer from Crustaceans, Its Derivatization and Uses in Adsorption of some Chemicals, Department of Chemistry Graduate School, Silpakorn University :pp.10.
- [4] Woranithathorn, V. , (2 0 1 2) . Effectiveness of 5 % niacinamide on facial sebum production, MFU RESEARCH CONFERENCE: pp.1-7.
- [5] Oonjai, A. , (2 0 1 6) . Development of Porous Bone Substitute by Freeze Dry Method, Department of Industrial Engineering, Chiang Mai University: pp.48.
- [6] Padmanaban, G. K, Iftekher, M, Duane, P. M., (1999). Postcolumn Fluorimetric HPLC Procedure for Determination of Niacin Content of Cereals, CEREAL CHEMISTRY: 512-513.
- [7] Personal Care Products Council., (2015). Concentration of use by FDA product category: Silk. Unpublished data submitted by the Personal Care Products Council, on 1-6-2015. pp.1.
- [8] Wetchakun, C., Puapermpoonsiri, U., and Sila-on, W., (2015). Effect of Alcohol and Co-Film Former on The Physical and Mechanical Properties of Facial Mask Formulations, Faculty of Pharmaceutical Sciences, Ubon Ratchathani University: pp.1-8.